

# بررسی تأثیر دانه‌بندی و ایجاد بافت درشت به روش شیارزدن بر مقاومت لغزندگی رو سازی‌های بتنی راه

منصور فخری، استادیار، دانشکده مهندسی عمران، دانشگاه صنعتی خواجه نصیرالدین طوسی، تهران، ایران  
میلاد طاری بخش<sup>\*</sup>، دانشجوی کارشناسی ارشد، دانشکده مهندسی عمران، دانشگاه صنعتی خواجه نصیرالدین طوسی، تهران، ایران

E-mail: miladtaribakhsh@yahoo.com

دریافت: ۱۳۹۱/۰۱/۲۳ - پذیرش: ۱۳۹۱/۰۵/۲۱

## چکیده

ایجاد مقاومت لغزندگی کافی یکی از الزامات مهم و اجتناب‌ناپذیر در ساخت رو سازی‌های بتنی است. انتخاب روش پرداخت سطح رویه، عاملی است که اثرات عمده‌ای بر خصوصیات اصطکاکی سطح دارد. با این حال، هنوز دستورالعمل جامعی برای شناسایی و انتخاب روش ایجاد بافت رو سازی‌های بتنی که مجموعه عوامل فی، اقتصادی، زیست محیطی و ایمنی راه را در برگیرد، وجود ندارد. هدف از این پژوهش آزمایشگاهی، تعیین رابطه بین مشخصات بافت درشت ایجاد شده و مقاومت لغزندگی رو سازی‌های بتنی می‌باشد. برای این منظور با درنظر گرفتن سه تیپ دانه‌بندی مختلف براساس تفاوت در بزرگترین اندازه اسمی سنتدانه‌های آنها، به ارایه سه طرح اختلاط مناسب اقدام شد. پس از پذیرش این سه تیپ مخلوط، برای ساخت نمونه‌های مربوط به آزمایش‌های آونگ انگلیسی و پخش ماسه، روش شیارزدن (در وضعیت بتن پلاستیک) به کار گرفته شد تا میزان تأثیر این روش بر خصوصیات بافت ریز و بافت درشت رویه‌های بتنی، ارزیابی گردد. شیارها در سه پهنا و چهار فاصله مختلف، روی سطح ایجاد شدند و نمونه‌ها در سه امتداد طولی و عرضی و مورب، تحت آزمایش آونگ انگلیسی قرار گرفتند. نتایج به دست آمده نشان می‌دهند که ایجاد بافت روی سطح بتن، مقاومت لغزندگی را به میزان قابل توجهی افزایش می‌دهد. همچنین با افزایش پهنا و کاهش فواصل شیارها، اصطکاک بیشتری تولید می‌شود و هرگاه بافت ایجاد شده در امتداد عمود بر جریان ترافیک باشد، بالاترین میزان اصطکاک را دارد.

واژه‌های کلیدی: مقاومت لغزندگی، رو سازی بتنی، شیارزدن، بافت ریز، بافت درشت، آونگ انگلیسی، پخش ماسه

## ۱- مقدمه

مقاومت لغزندگی یکی از مهم‌ترین مباحث ایمنی مسیر است که امر و زه دارای جایگاه ویژه‌ای در مطالعات طراحی و ملاحظات فنی و اقتصادی می‌باشد. مقاومت لغزندگی با ضریب اصطکاک بین لاستیک و رویه راه بیان می‌شود که به دو صورت طولی و عرضی قابل تقسیم‌بندی است و با استفاده از دستگاه‌های مختلفی در آزمایشگاه و یا سطح جاده اندازه‌گیری می‌شود. عدم مقاومت اصطکاکی کافی در سطح رو سازی نه تنها خود یکی از علل عدمه

با توجه به ضعف رو سازی‌های آسفالتی در محورهای سنگین، که اغلب دارای ناهمواری، موج‌های بلند و متوالی و گاهی شکستگی می‌باشند، کاربرد دال بتنی به عنوان یک رویه مقاوم و با دوام باعث رفع مشکلات مزبور و کاهش دوره تعمیرات می‌گردد. بنابراین، تمایل مهندسان و سیاست‌گزاران امر را مسازی، به استفاده از رو سازی‌های بتنی در سرتاسر جهان رو به افزایش است (حسنی، ۱۳۸۴).

پس از سخت شدن بتن به کار می‌رود، که ضمناً یکی از کاربردهای آنها، احیای<sup>۱</sup> بافت درشت روسازی‌های موجود می‌باشد. انتخاب روش پرداخت سطح<sup>۲</sup> رویه و نحوه ایجاد بافت درشت<sup>۳</sup> روی سطح نهایی راه، عاملی است که اثرات عمده‌ای بر (Lee, Fwa, and Choo, 2003) با این وجود، دستورالعمل جامعی برای شناسایی و انتخاب روش ایجاد بافت روسازی‌های بتنی که مجموعه عوامل فنی، زیست‌محیطی، اقتصادی و ایمنی راه را در برگیرد، موجود در دسترس نیست (Hall, Smith, and Littleton, 2009).

مقاومت لغزندگی روسازی‌های بتنی تحت تأثیر عواملی از قبیل نوع سنگدانه‌ها، شکل، اندازه و دانه‌بندی سنگدانه‌ها، نسبت آب به سیمان، درصد فضای خالی، روش عمل‌آوری و مهم‌تر از همه؛ روش ایجاد بافت درشت روی سطح رویه قرار دارد (Lee, Fwa, and Choo, 2003).

عمق، فاصله و جهت‌گیری بافت درشت سطحی می‌تواند اثر قابل توجهی بر خصوصیات اصطکاکی، خصوصیات مربوط به آلایندگی صوتی و کیفیت سواری داشته باشد (Ardani, 2006). جهت بافت درشت با تغییر نوع کاربرد روسازی تغییر می‌کند. بافت طولی در شبیه‌ها و قوس‌ها (به عنوان تکنیکی برای پایدارسازی و هدایت‌پذیری وسیله نقلیه) مؤثر است. از طرفی دیگر بافت عرضی باعث تأمین مقاومت لغزشی بیشتری نسبت به بافت طولی می‌شود و بنابراین، برای محوطه‌های با سرعت بالا مناسب‌تر است. همچنین به دلیل این‌که بافت عرضی، هم راستای شبیع عرضی مسیر می‌باشد؛ با ایجاد کانال‌های زهکشی، سبب تخلیه سریع آب از سطح روسازی می‌گردد و بنابراین، پدیده هیدرولیکنینگ<sup>۴</sup> را به نحو چشمکیری کاهش خواهد داد (Lee, Fwa, and Choo, 2003). اما مزیت اصلی بافت طولی، کاهش آلایندگی صوتی و نیز بهبود کیفیت سواری می‌باشد (Reiter, Bowlby, and Herman, 2004). برای مثال، میزان آلودگی صوتی برای روسازی بتنی دارای بافت درشت به روشن شیار طولی، در حدود ۷۷ دسی بل است، در حالی‌که این مقدار در وضعیت شیار عرضی، در حدود ۸۲ دسی بل خواهد بود (Hall, Smith, and Littleton, 2009).

به‌طور کلی ایجاد بافت درشت بر روی بتن، از طرق مختلف می‌تواند صورت پذیرد که در این میان، روش شیارزدن روی

تصادفات است، بلکه سایر عوامل مؤثر در تصادفات جاده‌ای را نیز تحت تأثیر قرار می‌دهد (Hosking, 1992).

در صورت فقدان مقدار مناسبی از اصطکاک در شرایط آب و هوایی بارانی، احتمال وقوع تصادف ناشی از سرخوردن وسیله نقلیه بر سطح روسازی زیاد است. آمارهای جمع‌آوری شده نشان می‌دهد که تلفات انسانی، بدترین پیامد هر تصادف است. متأسفانه آمار متوفیان ناشی از تصادفات در ایران بسیار زیاد بوده و به طور میانگین در سال ۱۳۸۸ روزانه بیش از ۶۳ نفر در اثر تصادفات جاده‌ای کشته شدند که بخشی از این تصادفات، ناشی از کمبود مقاومت لغزندگی سطح راه می‌باشد. این در حالی است که در کشورهای اروپای غربی مانند آلمان، انگلیس و فرانسه که حتی پارامتر وسیله نقلیه - کیلومتر طی شده در آن کشورها بیش از ۱۰ برابر ایران می‌باشد، تعداد کشته‌ها بسیار کمتر می‌باشد (سالنامه آماری حمل و نقل جاده‌ای، ۱۳۸۸). بنابراین ارایه راهکارهایی جهت بهبود اصطکاک سطحی و به تبع، افزایش ایمنی مسیر یکی از مسائل ضروری و مهم به نظر می‌رسد.

در این پژوهش، سعی بر آن است تا با یافتن ارتباط بین چگونگی ایجاد بافت درشت<sup>۱</sup> و میزان مقاومت در برابر لغزش، گامی سودمند در جهت ارتقای سطح ایمنی راههای بتنی برداشته شود؛ که در این راستا ارزیابی روش شیار زدن<sup>۲</sup> بتن تازه مدد نظر قرار گرفته است. همچنین با توجه به اثر ابعاد سنگدانه‌های به کار رفته در مخلوط بتنی بر مقاومت لغزشی سطح راه، انواع مختلف دانه‌بندی‌ها برای دست‌یابی به بالاترین میزان اصطکاک مورد بررسی و مقایسه قرار گرفته‌اند.

## ۲- مرواری بر پیشینه تحقیق

ایجاد مقاومت لغزندگی کافی یکی از الزامات اجتناب‌ناپذیر و مهم در ساخت روسازی‌های بتنی است و از رویه‌های بتنی بدون بافت درشت، فقط می‌توان در مکان‌هایی که مسئله لغزش، اهمیت خاصی ندارد، مانند پارکینگ‌ها، کف کارگاه‌ها و کارخانه‌ها و همچنین در ابزارها استفاده کرد (جان محمدی، ۱۳۸۸). روش‌ها و تجهیزات متنوع و مختلفی برای ایجاد بافت در روسازی‌های بتنی توسعه یافته‌اند، که اغلب آنها بلافاصله پس از بتن‌ریزی و وقتی که سطح بتن هنوز سفت نشده است<sup>۳</sup>، مورد استفاده قرار می‌گیرند. در مقابل، برخی دیگر از دستگاه‌ها، برای ایجاد بافت

شاخص بین‌المللی ناهمواری قابل قبول، برابر با ۴ متر بر کیلومتر است (Robinson, Danielson and Snaith, 1998).

### ۳- طرح اختلاط بتن و برنامه آزمایشگاهی

برای ساخت نمونه‌های بتنی مورد نیاز جهت انجام آزمایش‌ها، از سیمان پرتلند تیپ دو محصول کارخانه سیمان تهران و آب شرب شهری و همچنین شن کوهی شکسته و ماسه رودخانه‌ای گرد گوشه، که از معادن شرق استان تهران (پاکدشت) تهیه شدند و به‌طور عمدۀ حاوی کانی‌های سیلیسی می‌باشند، استفاده شد (طاری‌بخش، ۱۳۹۰). سنگدانه‌هایی که در مخلوط‌های بتنی مورد استفاده قرار می‌گیرند، باید در برابر وزن وسائل نقلیه سنگین، مقاومت کافی داشته باشند و نباید در اثر تنش‌های ناشی از وزن آنها شکسته و خرد شوند. سختی مصالح سنگی با انجام آزمایش سایش لس آنجلس مطابق استاندارد ASTM C131 ارزیابی شود که در این پژوهه از چرخش ۵۰۰ دور در دقیقه دستگاه و دانه‌بندی B استاندارد نام برده استفاده شده است. آزمایش دیگری که روی مصالح سنگی انجام گرفت، درصد شکستگی مصالح براساس استاندارد ASTM D5821 می‌باشد. این آزمایش با هدف مکریم کردن مقاومت برشی به کمک افزایش اندرکش اصطکاکی بین ذرات و همچنین با هدف تأمین استحکام لازم برای انجام به‌سازی سطحی سنگدانه‌ها و افزایش مقاومت اصطکاکی سنگدانه‌های به کار رفته در لایه رویه روسازی، انجام می‌گیرد. نتایج حاصل از آزمایش‌های فوق در جدول ۱ آورده شده است. طبق توصیه آیینه‌نامه (AASHTO M80, 2003) درصد سایش سنگدانه‌های درشت بتن، نباید از ۵۰ درصد تجاوز کند.

جدول ۱. نتایج آزمایش سایش لس آنجلس و درصد شکستگی

نتایج (درصد)	آزمایش‌های سنگدانه‌ها
۱۶	افت وزنی در مقابل سایش به روش لس آنجلس
۹۸	درصد شکستگی در یک جبهه مصالح روی الک شماره ۴
۹۳	درصد شکستگی در دو جبهه مصالح روی الک شماره ۴

سطح بتن درحال گیرش (بتن پلاستیک)، یکی از بهترین و سودمندترین و کاربردی‌ترین روش‌ها می‌باشد. آزمایش‌های میدانی NASA<sup>۸</sup> نشان می‌دهند که ابعاد شیارها و فواصل آنها، اثر مهمی بر مقاومت لغزنده‌گی روسازی بتنی دارند، به‌طوری‌که در شرایط مرطوب، استفاده از شیارهایی با پهنای و عمق زیاد و فواصل کم، باعث افزایش ۵۴ درصدی مقاومت لغزشی، نسبت به وضعیت شیارهایی با پهنای و عمق کم و فواصل زیاد شده است (Chambers, 2003). مدل‌سازی کامپیوترا نیز بیانگر رابطه مشابهی بین مقاومت لغزنده‌گی و هندسه شیارهاست. مدل‌سازی به روش اجزای محدود نشان می‌دهد که با تغییر در ابعاد شیارها، سرعت هیدرولیکالنینگ تغییر می‌کند. به این ترتیب که استفاده از شیارهایی با فواصل کمتر و پهنای و عمق بیشتر، میزان سرعت هیدرولیکالنینگ را تا ۳/۱ برابر افزایش می‌دهد (Ong and Fwa, 2006) و (Ong and Fwa, 2006). علی‌رغم تحقیقات صورت گرفته در سرتاسر جهان، در مورد نوع شیارها (طولی یا عرضی یا مورب)، ابعاد شیارها و اثرات آنها بر کیفیت سواری و آسودگی صوتی، باید گفت که هیچ یک از آنها، نظر قاطع درباره استفاده از شیار برای ایجاد بافت درشت، ارایه نکرده‌اند. بنابراین، یکی از اهداف مهم این پژوهش، تعیین بهترین فواصل بین شیارها و نیز تعیین مناسب‌ترین پهنای شیار و همچنین یافتن زاویه بهینه برای شیارزنی می‌باشد. ذکر این مطلب ضروری است که در ضمن بهینه‌یابی پهنای و فواصل و زاویه شیارها، باید به مسایلی چون آلایندگی صوتی و کیفیت سواری نیز توجه کرد. در واقع بهترین وضعیت شیارزنی هنگامی محقق می‌شود که مقاومت لغزنده‌گی سطح رویه و آسودگی صوتی محیط پیرامون و کیفیت سواری وسیله نقلیه، به‌طور همزمان در حد قابل قبول باشند و هیچ یک از این سه مورد، دچار نقصان نباشند. قابل ذکر است که ارزیابی مقاومت لغزنده‌گی و آسودگی صوتی و کیفیت سواری، به ترتیب با اندازه‌گیری عدد اصطکاک<sup>۹</sup> (FN)، حداکثر سطح صدا<sup>۱۰</sup> (L<sub>max</sub>) و شاخص بین‌المللی ناهمواری<sup>۱۱</sup> (IRI) صورت می‌پذیرد. حداقل مقدار عدد اصطکاک لازم برای تأمین اینمنی راه، برابر با ۳۷ می‌باشد (Shaffer, Christiaen, and Rogers, 2006). همچنین حداکثر سطح صدای قابل قبول، در حدود ۸۲/۵ دسی بل (Hall, Smith and Littleton, 2009) و نیز حداکثر میزان

دارد که علت آن تخلخل سنگدانه‌ها و جذب خمیر سیمان توسط آنها می‌باشد. جهت لحاظ نمودن اثر تخلخل یا خلل و فرج سنگدانه‌ها، وزن مخصوص مصالح سنگی به صورت‌های مختلف اعم از وزن مخصوص حقیقی، وزن مخصوص ظاهری و همچنین وزن مخصوص ظاهری خشک و میله خورده شن تعریف شده و محاسبه می‌گردد. در طرح اختلاط بتن همیشه فرض بر این است که دانه‌ها در وضعیت اشباع با سطح خشک<sup>۱۳</sup> (SSD) قرار دارند. بنابراین، از وزن مخصوص حقیقی SSD در طراحی استفاده خواهد شد.

در جدول ۳ مقادیر مربوط به اوزان مخصوص مصالح سنگی و سیمان مورد استفاده در این پروژه به همراه استانداردهای آزمایش‌ها آورده شده است.

در این پروژه، برای تهیه مخلوط‌های بتونی مورد نیاز، از حد وسط دانه‌بندی‌های شماره ۶، ۷ و ۸۹ استاندارد ASTM C33 استفاده شد. تفاوت اصلی این سه تیپ دانه‌بندی مختلف، ناشی از حداکثر اندازه اسمی سنگدانه‌های<sup>۱۴</sup> (NMSA) آنها می‌باشد. به این ترتیب که دانه‌بندی شماره ۶ دارای حداکثر اندازه اسمی سنگدانه برابر با ۱۹ میلی‌متر، دانه‌بندی شماره ۷ دارای حداکثر اندازه اسمی سنگدانه برابر با ۱۲/۵ میلی‌متر و سرانجام، دانه‌بندی شماره ۸۹ دارای حداکثر اندازه اسمی سنگدانه برابر با ۹/۵ میلی‌متر می‌باشد. بنابراین، یکی از اهداف این تحقیق، بررسی اثر اندازه سنگدانه‌ها بر شاخص‌های لغزنده‌گی خواهد بود. جدول ۲ دانه‌بندی‌های انتخاب شده برای این پروژه را نشان می‌دهد. وزن مخصوص مصالح سنگی اثر قابل ملاحظه‌ای در فضای خالی مخلوط بتونی

جدول ۲. حدود دانه‌بندی شن و ماسه انتخاب شده برای این پروژه

اندازه الک (میلی متر)	دانه‌بندی تیپ A			دانه‌بندی تیپ B			دانه‌بندی تیپ C		
	شن	ماسه	ترکیبی	شن	ماسه	ترکیبی	شن	ماسه	ترکیبی
۲۵/۴	۱۰۰		۱۰۰						
۱۹	۹۵		۹۷/۱	۱۰۰		۱۰۰			
۱۲/۵	۴۰		۶۵/۴	۹۵		۹۷/۲	۱۰۰		۱۰۰
۹/۰	۱۰		۴۸/۱	۵۰		۷۵/۲	۹۵		۹۷/۴
۴/۷۵	۰	۱۰۰	۴۲/۳	۱۰	۱۰۰	۵۰/۴	۳۵	۱۰۰	۶۶/۰
۲/۳۶		۸۵	۳۵/۹	۰	۹۰	۴۰/۴	۱۵	۹۵	۵۲/۲
۱/۱۸		۶۵	۲۷/۴		۷۰	۳۱/۴	۰	۷۵	۳۶/۸
۰/۶		۴۰	۱۶/۸		۴۵	۲۰/۲		۵۰	۲۴/۹
۰/۳		۱۵	۶/۲		۱۵	۶/۷		۲۰	۱۰/۶
۰/۱۵		۰	۰		۰	۰		۵	۳/۴
۰/۰۷۵								۰	۰
مدول نرمی ماسه		۲/۹۵			۲/۸۰			۲/۰۵	

جدول ۳. وزن مخصوص مصالح سنگی و سیمان مورد استفاده در این پژوهش

	نوع مصالح	دانه‌بندی تیپ A	دانه‌بندی تیپ B	دانه‌بندی تیپ C	روش آزمایش
وزن مخصوص حقیقی در وضعیت اشباع با سطح خشک ( $S_s$ )	شن	۲/۶۳۶	۲/۶۳۱	۲/۶۲۲	ASTM C127
	ماسه	۲/۵۳۰	۲/۵۱۷	۲/۵۱۰	ASTM C128
درصد جذب آب (%)A	شن	۱/۳۹	۱/۴۵	۱/۶۱	ASTM C127
	ماسه	۲/۱۶	۲/۲۶	۲/۳۰	ASTM C128
وزن مخصوص ظاهری خشک و میله خورده شن	شن	۱۵۶۷	۱۵۸۵	۱۶۴۶	ASTM C29
وزن مخصوص سیمان	سیمان	۳/۱۰۷	۳/۱۰۷	۳/۱۰۷	ASTM C188

جدول ۴. نسبت‌های اجزای مخلوط بتونی در وضعیت اشباع با سطح خشک (SSD)

	طرح اختلاط تیپ A	طرح اختلاط تیپ B	طرح اختلاط تیپ C
(Kg/m <sup>3</sup> )SSD وزن شن در حالت	۹۶۱	۸۸۵	۸۱۱
(Kg/m <sup>3</sup> )SSD وزن ماسه در حالت	۷۰۴	۷۲۱	۷۴۰
(Kg/m <sup>3</sup> ) وزن آب	۱۹۰	۱۹۹	۲۰۷
(Kg/m <sup>3</sup> ) وزن سیمان	۴۵۲	۴۷۴	۴۹۳
(Kg/cm <sup>2</sup> ) مقاومت فشاری ۲۸ روزه	۳۸۴	۴۰۱	۴۱۷

ساخته شد. اگر میانگین مقاومت فشاری حداقل سه نمونه، از مقاومت هدف بیشتر باشد، کیفیت بتون حاصل مورد تأیید خواهد بود. در نتیجه در مجموع ۹ نمونه تهیه و پس از ۲۸ روز عمل آوری در حوضچه آب، تحت آزمایش مقاومت فشاری قرار گرفتند که نتایج این آزمایش در جدول ۴ نشان داده شده است. همان‌طور که ملاحظه می‌شود، بتون حاصل دارای مقاومت فشاری قابل قبولی بوده و برای ساخت روسازی بتونی مناسب می‌باشد. پس از طراحی مخلوط‌های بتونی، نمونه‌های مربوط به آزمایش پاندول انگلیسی<sup>۱۴</sup> و پخش ماسه<sup>۱۵</sup> ساخته شدند و بافت درشت لازم روی آنها ایجاد شد. برای ساخت این نمونه‌ها از قالب‌های استوانه‌ای به قطر ۲۰ سانتی‌متر و عمق ۱۰/۵ سانتی‌متر استفاده شد. پرداخت اولیه این نمونه‌ها به وسیله کشیدن ماله روی سطح آنها انجام شد و به این ترتیب، سطحی کاملاً صاف (شیبه آنچه که در روسازی‌های بتونی به چشم می‌خورد) پدید آمد. سپس به منظور ایجاد بافت درشت روی این سطوح، از روش شیارزدن استفاده

در این تحقیق، مقاومت فشاری مشخصه برای هر سه تیپ طرح اختلاط، برابر با ۴۰۰ کیلوگرم بر سانتی‌متر مربع می‌باشد و درنتیجه، نسبت آب به سیمان ثابت و برابر ۰/۴۲ به دست می‌آید. این کار باعث می‌شود تا تنها تفاوت سه تیپ مخلوط بتونی ذکر شده، در حداکثر اندازه اسمی سنگدانه‌های آنها باشد و به این ترتیب، بدون تغییر سایر پارامترهای طرح اختلاط، بتوان تأثیر اندازه سنگدانه‌ها بر شاخص‌های لغزنده‌گی را مقایسه کرد.

برای تعیین نسبت‌های اختلاط اجزای مخلوط بتونی، با درنظر گرفتن اسلامپ ۵۰ میلی‌متر برای بتون، مراحل گام به گام بر اساس ACI 211-1 پیموده شد که نتایج طراحی در جدول ۴ قابل مشاهده است. با استفاده از نسبت‌های به دست آمده، آزمایش مقاومت فشاری به منظور کنترل کیفیت مصالح و همچنین بررسی صحت طرح اختلاط، صورت پذیرفت. برای این کار از قالب‌هایی با قطر ۱۵ سانتی‌متر و ارتفاع ۳۰ سانتی‌متر استفاده شد و از هر تیپ مخلوط، سه نمونه براساس استاندارد ASTM C39

انجام آزمایش، سطح نمونه‌ها باید کاملاً تمیز و همراه با کفشک لاستیکی خیس شود. هر یک از نمونه‌ها در سه جهت عرضی، مورب و طولی تحت آزمایش آونگ انگلیسی قرار گرفتند. به این معنی که در شیارهای عرضی، امتداد حرکت کفشک پاندول، بر امتداد شیارها عمود است و شیارهای مورب نسبت به شیارهای عرضی، دارای زاویه ۱۴ درجه (۱:۶) می‌باشند (بنابراین، امتداد حرکت کفشک پاندول، با شیارهای مورب زاویه ۷۶ درجه می‌سازد). در ارتباط با شیارهای طولی، امتداد حرکت کفشک پاندول، با امتداد شیارها موازی و منطبق است. قابل ذکر است که تعداد شیارهایی که کفشک پاندول در حین حرکت روی سطح نمونه با آنها برخورد کرده و از روی آنها عبور می‌کند، با تغییر فواصل و زاویه شیارها تغییر می‌کند. جدول ۵ تعداد شیارهای مورد اصابت لغزنه آونگ را برای هر زاویه و هر فاصله نشان می‌دهد.

به منظور ارزیابی بافت درشت نمونه‌های بتني از آزمایش پخش ماسه اصلاح شده طبق استاندارد ASTM E965 استفاده شده است. در روش پخش ماسه میدانی، جهت تعیین متوسط عمق بافت، قطر دایره تشکیل شده در سطح روسازی اندازه گرفته می‌شود، اما در روش پخش ماسه اصلاحی قطر نمونه ثابت می‌باشد و حجم ماسه اندازه‌گیری می‌شود.

جدول ۵. تعداد شیارهای مورد اصابت با کفشک پاندول

فاصل (میلی متر)	شیار عرضی	شیار مورب	شیار طولی
۱۳	۱۰	۹/۵	۶
۱۹	۷	۶/۵	۴
۲۵	۵	۵	۳
۳۲	۴	۴	۲

#### ۴- نتایج آزمایش آونگ انگلیسی و تحلیل نتایج

نتایج آزمایش آونگ انگلیسی مربوط به نمونه‌های ساخته شده در شرایط ذکر شده در بالا، در جدول ۶ آورده شده است که در ادامه به تفسیر و تحلیل آنها پرداخته خواهد شد.

گردید. روش شیارزنی، عموماً برای دستیابی به بافت مناسب سطح رویه، به منظور بهبود خصوصیات اصطکاکی، کاهش پتانسیل هیدرولیکنینگ و لغزش در شرایط مرتبط اجرا می‌شود. مهم‌ترین عوامل مؤثر بر عملکرد شیارها، عبارت از عمق و پهنا و زاویه و فواصل بین آنها می‌باشند. در این پژوهه، پهنای شیارها برابر  $۲/۵$  و  $۳/۸$  میلی‌متر می‌باشند. برای هر یک از این مقادیر، شیارهایی با فواصل مرکز به مرکز  $۱۳$  و  $۲۵$  و  $۱۹$  و  $۲۲$  میلی‌متر ایجاد گشت. عمق تمام شیارها نیز ثابت و برابر  $۳/۲$  میلی‌متر می‌باشند. بنابراین، از هر تیپ مخلوط بتی  $۱۳$  نمونه شامل:  $۱۲$  نمونه به روش شیارزنی، و یک نمونه بدون بافت درشت (سطح صاف) ساخته شد. در نتیجه جمماً  $۳۹$  نمونه تهیه گردید. در شکل ۱ نمونه‌ای ساخته شده با این روش نشان داده شده است.



شکل ۱. نمونه بتی دارای بافت درشت به روش شیارزنی

مقاومت لغزندگی در سطح تماس لاستیک و روسازی به دو پارامتر بافت ریز<sup>۱۶</sup> و بافت درشت روسازی وابسته است. در این پژوهه مقاومت اصطکاکی سطوح بتی پرداخت شده، با اندازه‌گیری شاخص‌های عدد آونگی<sup>۱۷</sup> (BPN) و عمق بافت درشت<sup>۱۸</sup> (MTD) مورد ارزیابی قرار گرفت. برای ارزیابی مقاومت اصطکاکی نمونه‌های بتی ساخته شده، از دستگاه پاندول انگلیسی طبق استاندارد ASTM E303 استفاده شده است. در این آزمایش از کفشک بزرگ دستگاه که دارای ابعاد  $۷۵/۷۵ \times ۶/۳۵ \times ۲۵/۴$  میلی‌متر می‌باشد، استفاده می‌شود. طول مسیر حرکت لغزنه بر سطح، باید برابر با  $۱۲۵$  میلی‌متر باشد. برای

جدول ۶. نتایج آزمایش پاندول انگلیسی روی نمونه‌های بتني

پهنهای شیارها (میلی متر)	فواصل شیارها (میلی متر)	مخلوط تیپ A			مخلوط تیپ B			مخلوط تیپ C		
		عرضی	مورب	طولی	عرضی	مورب	طولی	عرضی	مورب	طولی
۲/۵	۱۳	۷۱	۷۲	۶۴	۷۲	۷۰	۶۴	۷۰	۶۸	۶۷
	۱۹	۶۳	۶۰	۶۱	۶۴	۶۴	۶۰	۶۵	۶۴	۶۰
	۲۵	۶۳	۵۸	۵۶	۶۱	۵۷	۵۸	۵۸	۵۷	۶۰
	۳۲	۶۰	۵۸	۵۵	۵۸	۵۸	۵۸	۵۶	۵۶	۵۵
۳/۲	۱۳	۷۶	۷۷	۷۱	۷۷	۷۲	۷۲	۷۴	۷۹	۷۲
	۱۹	۶۷	۶۹	۶۴	۶۴	۶۶	۶۴	۶۳	۷۰	۶۱
	۲۵	۶۳	۶۲	۵۷	۶۳	۶۰	۶۱	۶۰	۶۲	۶۰
	۳۲	۶۱	۶۱	۵۷	۵۹	۵۸	۵۹	۵۸	۶۰	۵۶
۳/۸	۱۳	۸۴	۸۲	۷۶	۸۲	۸۲	۷۵	۸۳	۸۳	۷۴
	۱۹	۷۲	۶۹	۷۲	۷۸	۷۶	۶۶	۷۵	۷۱	۶۷
	۲۵	۶۹	۶۵	۶۲	۶۷	۶۳	۶۰	۶۳	۶۱	۶۲
	۳۲	۶۷	۵۹	۶۳	۶۲	۶۱	۵۹	۶۲	۶۰	۶۰
بدون بافت	-	۴۷			۴۵			۴۲		

مخلوط‌های دارای دانه‌بندی باز، از مقاومت لغزنده‌گی بیشتری برخوردارند و در مقابل، با چگال شدن دانه‌بندی، از مقاومت لغزشی کاسته می‌گردد. قابل ذکر است که مقادیر یاد شده، از حداقل مقادیر مجاز توصیه شده توسط TRRL<sup>۱۹</sup> برای مقاومت لغزنده‌گی راه کمتر می‌باشند که این مسئله، بیانگر این حقیقت است که در مورد روسازی‌های بتني، حتماً باید از روش‌های مربوط به ایجاد بافت درشت استفاده کرد تا این‌نی کافی مسیر تأمین گردد. مقادیر عدد آونگی که در جدول ۶ آورده شدند، باید برای دست‌یابی به اهداف مربوط به این پژوهش (یعنی در راستای مقایسه تأثیر عواملی از قبیل فواصل شیارها، پهنهای شیارها و سرانجام بزرگ‌ترین اندازه اسمی سنگدانه‌ها بر مقاومت لغزنده‌گی) مرتب شده و میانگین مقادیر آنها به منظور محاسبه پارامترهای رگرسیونی به دست آیند. جداول ۷ و ۸ میانگین اعداد آونگی مربوط به هر سه تیپ مخلوط را به ترتیب برای فواصل و پهنهای مختلف شیارها نشان می‌دهند. در واقع برای محاسبه معادلات رگرسیون، از مقادیر میانگین موجود در این جداول استفاده شده است.

با توجه به جدول ۶ می‌توان نتیجه گرفت که برای سطوح بتني صاف و بدون بافت، میزان مقاومت لغزنده‌گی تنها تحت تأثیر نوع دانه‌بندی مخلوط و بزرگ‌ترین اندازه اسمی سنگدانه‌های آن می‌باشد. بنابراین، برآذش خطی بین بافت ریز (BPN) و حداکثر اندازه اسمی سنگدانه‌ها (x) برای این وضعیت، طبق رابطه ۱ است.

$$BPN=0.491x+37.95, R^2=0.898 \quad (1)$$

همان‌طور که در رابطه ۱ ملاحظه می‌شود، مقاومت لغزنده‌گی با بزرگ‌ترین اندازه اسمی سنگدانه‌ها رابطه مستقیم دارد. به این ترتیب که با افزایش حداکثر اندازه اسمی سنگدانه‌ها از ۹/۵ میلی‌متر به ۱۲/۵ میلی‌متر، به میزان ۳ واحد (برابر با ۷/۱ درصد) و پس از آن از ۱۲/۵ میلی‌متر به ۱۹ میلی‌متر، به اندازه ۲ واحد (برابر با ۴/۴ درصد)، به عدد آونگی افزوده شده است. یکی از دلایل این امر، درشت‌دانه‌تر شدن مخلوط بتني است که باعث ایجاد سطح زبرتری می‌گردد. علاوه بر آن، با مراجعت به جدول ۲، ملاحظه می‌شود که هرچه مخلوط درشت دانه‌تر شده است؛ دانه‌بندی آن نیز بازتر گشته است. طبق تحقیقات انجام شده،

می شود که افزایش فواصل شیارها و مقاومت لغزندگی رابطه معکوس با یکدیگر دارند و با افزایش فاصله، مقادیر BPN کاهش می یابند. به عبارت دیگر با افزایش تعداد شیارهایی که کفشهک پاندول با آنها در برخورد و تماس است، مقاومت لغزندگی افزایش می یابد. دلیل این مسئله، این است که افزایش تعداد برخوردهای کفشهک لاستیکی با شیارها، موجب افزایش اتلاف انرژی جنبشی آونگ شده و بنابراین، هنگام بالا رفتن بازوی آونگ، ارتفاع کمتری پیموده می شود. در نتیجه مقادیر BPN بیشتری قرائت خواهد شد. درصد تغییرات میانگین عدد آونگی به ازای افزایش فواصل شیارها برای هر زاویه شیار در جدول ۱۰ آورده شده است.

#### ۴-۱- تأثیر فواصل شیارها بر عدد آونگی

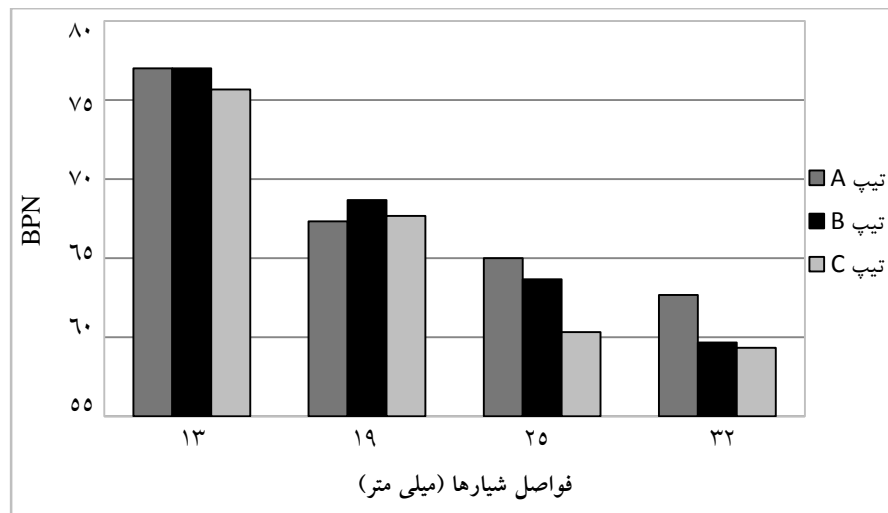
برای بررسی تأثیر فواصل شیارها بر مقاومت اصطکاکی سطوح بتنه، به ارزیابی رابطه بین مقادیر میانگین BPN (میانگین مقادیر BPN سه پهنهای مختلف در هر فاصله که از جدول ۷ استخراج می گردند) و فواصل شیارها پرداخته شد. نحوه تغییرات بافت ریز و فواصل مختلف شیارهای عرضی و مورب و طولی به ترتیب در شکل های ۲ و ۳ و ۴ برای هر سه تیپ مخلوط آورده شده است. همچنین معادلات رگرسیون هر یک از سه تیپ، در جدول ۹ نشان داده شده است. همان‌طور که در جدول ۹ دیده می شود با توجه به ضرایب همبستگی بدست آمده، روابط خطی مربوط به فواصل شیارها و مقادیر BPN قابل استناد می باشند. مشاهده

جدول ۷. میانگین مقادیر BPN در فواصل مختلف شیار برای هر سه تیپ مخلوط

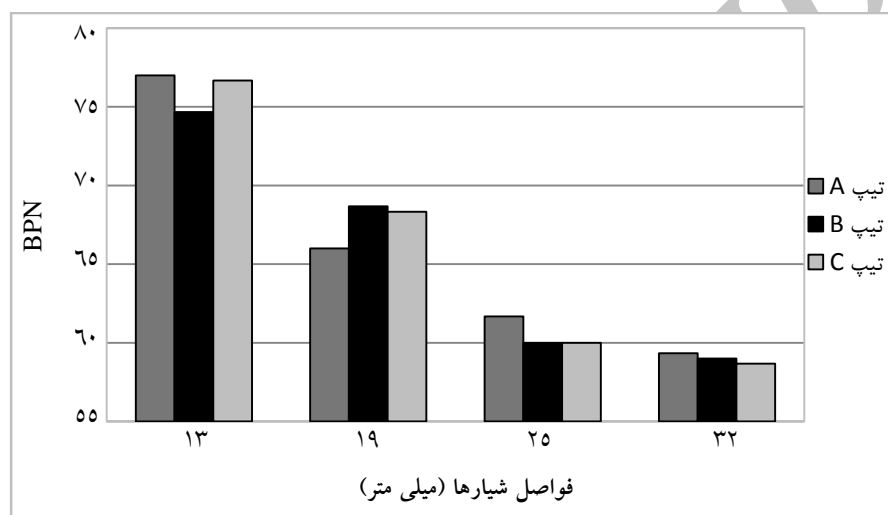
فواصل شیارها (میلی متر)	مقادیر BPN								
	مخلوط تیپ A			مخلوط تیپ B			مخلوط تیپ C		
	عرضی	مورب	طولی	عرضی	مورب	طولی	عرضی	مورب	طولی
۱۳	۷۷	۷۷	۷۰/۳۳	۷۷	۷۴/۶۷	۷۰/۳۳	۷۵/۶۷	۷۶/۶۷	۷۱
۱۹	۶۷/۳۳	۶۶	۶۵/۶۷	۶۸/۶۷	۶۸/۶۷	۶۳/۳۳	۶۷/۶۷	۶۸/۳۳	۶۲/۶۷
۲۵	۶۵	۶۱/۶۷	۵۸/۳۳	۶۳/۶۷	۶۰	۵۹/۶۷	۶۰/۳۳	۶۰	۷۰/۶۷
۳۲	۶۲/۶۷	۵۹/۳۳	۵۸/۳۳	۵۹/۶۷	۵۹	۵۸/۶۷	۵۹/۳۳	۵۸/۶۷	۵۷
BPN میانگین	۶۸	۶۶	۶۳/۱۷	۶۷/۲۵	۶۵/۵۸	۶۳	۶۵/۷۵	۶۵/۹۲	۶۲/۸۳

جدول ۸. میانگین مقادیر BPN در پهنهای مختلف شیار برای هر سه تیپ مخلوط

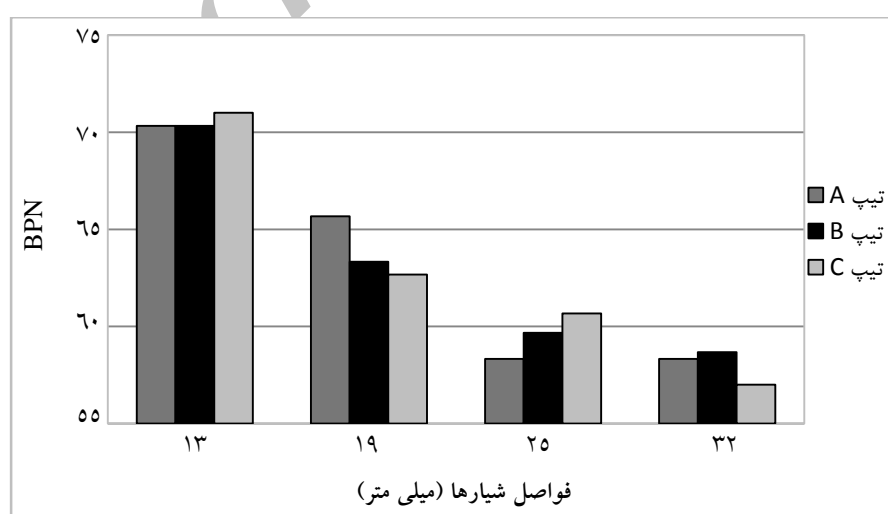
پهنهای شیارها (میلی متر)	مقادیر BPN								
	مخلوط تیپ A			مخلوط تیپ B			مخلوط تیپ C		
	عرضی	مورب	طولی	عرضی	مورب	طولی	عرضی	مورب	طولی
۲/۵	۶۴/۲۵	۶۲	۵۹	۶۳/۷۵	۶۲/۲۵	۶۰	۶۲/۷۵	۶۱/۲۵	۶۰/۵۰
۳/۲	۶۶/۷۵	۶۷/۲۵	۶۲/۲۵	۶۵/۷۵	۶۴	۶۴	۶۳/۷۵	۶۷/۷۵	۶۲/۲۵
۳/۸	۷۳	۶۸/۷۵	۶۸/۲۵	۷۲/۲۵	۷۰/۵۰	۶۵	۷۰/۷۵	۶۸/۷۵	۶۵/۷۵
BPN میانگین	۶۸	۶۶	۶۳/۱۷	۶۷/۲۵	۶۵/۵۸	۶۳	۶۵/۷۵	۶۵/۹۲	۶۲/۸۳



شکل ۲. نحوه تغییرات بافت ریز و فواصل مختلف شیارهای عرضی برای هر سه تیپ مخلوط



شکل ۳. نحوه تغییرات بافت ریز و فواصل مختلف شیارهای مورب برای هر سه تیپ مخلوط



شکل ۴. نحوه تغییرات بافت ریز و فواصل مختلف شیارهای طولی برای هر سه تیپ مخلوط

جدول ۹. پارامترهای رگرسیونی رابطه بین فواصل شیارها (x) و BPN

	تیپ مخلوط	معادله رگرسیون	R <sup>2</sup>
شیارهای عرضی	A	BPN = -0/711X + 83/82	0/845
	B	BPN = -0/898X + 87/24	0/958
	C	BPN = -0/882X + 85/38	0/897
شیارهای مورب	A	BPN = -0/899X + 86/00	0/871
	B	BPN = -0/873X + 85/01	0/910
	C	BPN = -0/977X + 87/66	0/908
شیارهای طولی	A	BPN = -0/778X + 78/26	0/876
	B	BPN = -0/705X + 76/47	0/869
	C	BPN = -0/693X + 78/26	0/906

جدول ۱۰. درصد تغییرات میانگین عدد آونگی به ازای افزایش فواصل شیارها

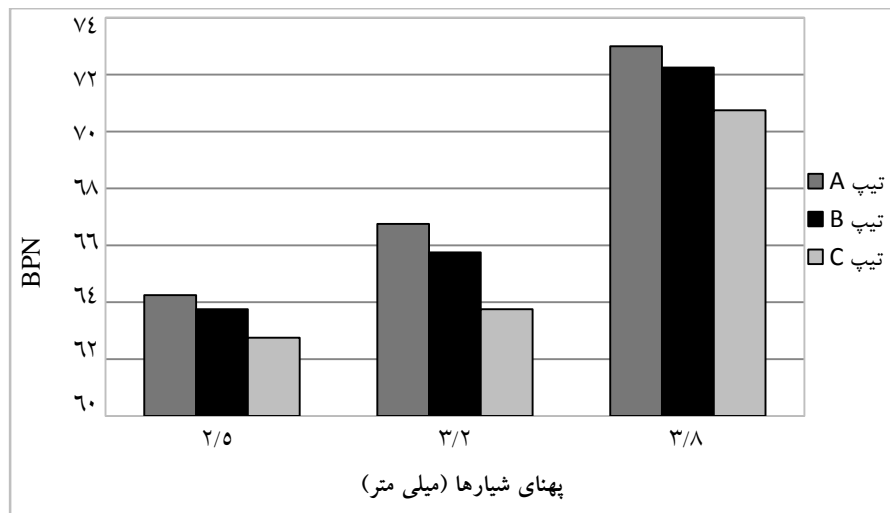
فواصل (میلی‌متر)	شیار عرضی	شیار مورب	شیار طولی
۱۳	-	-	-
۱۹	% -11/3	% -11/1	% -9/4
۲۵	% -7/2	% -10/5	% -6/8
۳۲	% -3/9	% -2/6	% -2/6

شیارها، مقاومت لغزندگی افزایش می‌یابد. از دلایل این امر می‌توان به موضوع تبدیل انرژی آونگ در حال حرکت اشاره کرد. هنگامی که آونگ در پایین‌ترین ارتفاع قرار دارد (یعنی زمان برخورد با سطح نمونه) انرژی جنبشی آن بیشینه می‌باشد و پس از عبور از روی سطح، تمایل دارد که انرژی جنبشی خود را به انرژی پتانسیل تبدیل کند، بنابراین، به سمت بالا ادامه حرکت می‌دهد. حال با ایجاد شیارها، بخشی از انرژی جنبشی، صرف مقابله با اثرات زبری حادث شده روی سطح خواهد شد که با پهن‌تر شدن این شیارها میزان افت انرژی بیشتر نیز می‌شود و در نتیجه اصطکاک بیشتری حاصل خواهد شد. درصد تغییرات میانگین عدد آونگی به ازای افزایش پهنای شیارها برای هر زاویه شیار در جدول ۱۲ آورده شده است.

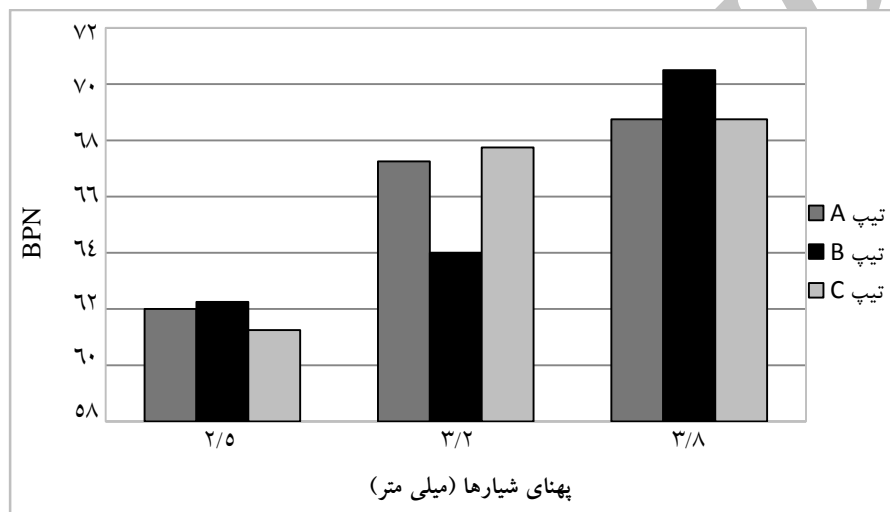
#### ۴-۲- تأثیر پهنای شیارها بر عدد آونگی

جهت بررسی تأثیر پهنای شیارها بر مقاومت اصطکاکی سطح رویه بتنی، رابطه بین مقادیر میانگین BPN (میانگین مقادیر چهار فاصله مختلف در هر پهنا، که از جدول ۸ استخراج می‌شوند) و پهنای شیارها ارزیابی می‌گردد. روند تغییرات BPN و پهنایهای مختلف شیارهای عرضی و مورب و طولی به ترتیب در شکل‌های ۵ و ۶ و ۷ برای هر سه تیپ مخلوط آورده شده است. همچنین روابط رگرسیون هر یک از سه تیپ، در جدول ۱۱ نشان داده شده است.

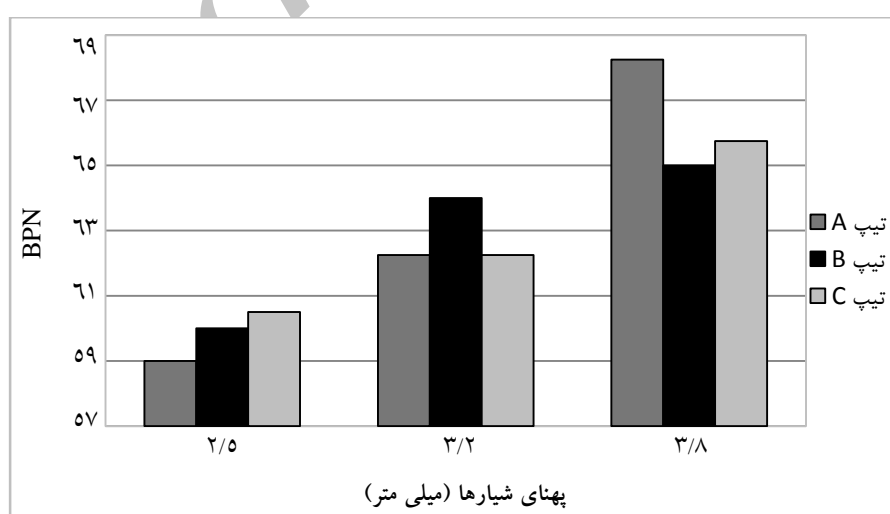
با توجه به جدول ۱۱ این مطلب قابل برداشت است که مقاومت اصطکاکی و افزایش پهنای شیارها، رابطه مستقیم با یکدیگر دارند و این به آن معنی است که به طور کلی با افزایش میزان پهنای



شکل ۵. نحوه تغییرات بافت ریز و پهنهای مختلف شیارهای عرضی برای هر سه تیپ مخلوط



شکل ۶. نحوه تغییرات بافت ریز و پهنهای مختلف شیارهای مورب برای هر سه تیپ مخلوط



شکل ۷. نحوه تغییرات بافت ریز و پهنهای مختلف شیارهای طولی برای هر سه تیپ مخلوط

جدول ۱۱. پارامترهای رگرسیونی رابطه بین پهنهای شیارها (x) و BPN

	تیپ مخلوط	معادله رگرسیون	R <sup>2</sup>
شیارهای عرضی	A	BPN = ۷/۶۴۳ X + ۴۶/۹۶	۰/۹۱۹
	B	BPN = ۷/۴۳۷ X + ۴۶/۸۶	۰/۸۸۸
	C	BPN = ۷/۰۲۳ X + ۴۶/۷۷	۰/۸۰۸
شیارهای مورب	A	BPN = ۵/۲۵۵ X + ۴۹/۳۵	۰/۹۳۰
	B	BPN = ۷/۲۴۰ X + ۴۵/۰۲	۰/۸۷۲
	C	BPN = ۵/۸۶۶ X + ۴۷/۳۴	۰/۸۷۸
شیارهای طولی	A	BPN = ۷/۰۴۷ X + ۴۰/۸۵	۰/۹۵۴
	B	BPN = ۳/۸۹۷ X + ۵۰/۶۵	۰/۹۱۸
	C	BPN = ۳/۹۹۶ X + ۵۰/۱۷	۰/۹۴۶

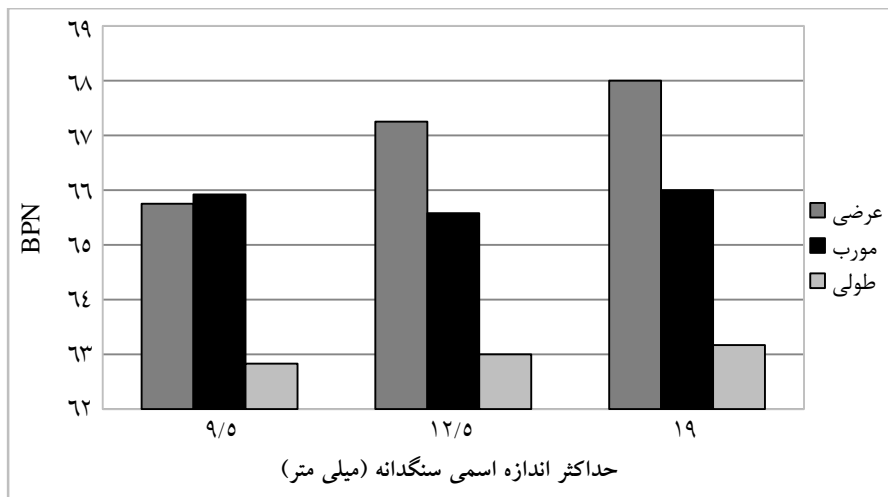
جدول ۱۲. درصد تغییرات میانگین عدد آونگی بهازی افزایش پهنهای شیارها

پهنا (میلی متر)	شیار عرضی	شیار مورب	شیار طولی
۲/۵	-	-	-
۳/۲	% ۲/۹	% ۷/۳	% ۵/۰
۳/۸	% ۱۰/۱	% ۴/۵	% ۵/۶

سنگدانه‌ها رابطه مستقیم دارد و با درشت شدن سنگدانه‌های بتن، مقادیر BPN افزایش یافته‌اند، اما این رابطه اثر زیادی بر تغییر مقاومت اصطکاکی سطح ندارد. چراکه میزان تغییرات، اندک بوده و بنابراین، مقدار BPN با تغییر اندازه سنگدانه‌ها، تغییر چشمگیری نخواهد کرد. این امر به این دلیل است که با ایجاد شیار روی سطح بتن، بافت درشت مناسبی به وجود می‌آید و در نتیجه تغییر اصطکاک ناشی از تغییر در نوع دانه‌بندی، در مقایسه با اصطکاک ایجاد شده توسط شیارها به قدری ناچیز است که قابل چشم‌پوشی است. یعنی با مؤثر واقع شدن شیارها، اثر درشت‌دانه یا ریزدانه بودن سنگدانه‌های مخلوط بتنی کم اثر شده است و مقاومت لغزندگی تولید شده، به طور عمده تحت تأثیر شیارها قرار گرفته است.

#### ۴-۳- تأثیر حداکثر اندازه اسمی سنگدانه‌ها بر عدد آونگی

جهت بررسی تأثیر بزرگ‌ترین اندازه اسمی سنگدانه‌ها و نوع دانه‌بندی (تیپ مخلوط بتنی) بر مقاومت لغزشی نمونه‌های بتنی شیاردار، به ارزیابی رابطه بین مقادیر میانگین کل BPN (میانگین کل مقادیر مربوط به هر تیپ مخلوط که در چهار فاصله و سه پهنهای مختلف به دست آمده و از ردیف آخر جداول ۷ و ۸ استخراج می‌گردد) و NMSA اقدام شد. چگونگی تغییرات بافت ریز و NMSA برای هر سه زاویه شیار در شکل ۸ و روابط رگرسیون آنها، در جدول ۱۳ آورده شده است. درصد تغییرات میانگین عدد آونگی بهازی افزایش NMSA برای هر زاویه شیار در جدول ۱۴ آورده شده است. همان‌طور که مشاهده می‌شود، اگرچه مقاومت لغزندگی با حداکثر اندازه اسمی



شکل ۸ روند تغییرات BPN و بزرگ‌ترین اندازه اسمی سنگدانه‌ها برای هر سه زاویه شیار

جدول ۱۳. پارامترهای رگرسیونی رابطه بین بزرگ‌ترین اندازه اسمی سنگدانه‌ها (x) و BPN

	معادله رگرسیون	R <sup>2</sup>
شیار عرضی	BPN = 0.217x + 64.03	0.848
شیار مورب	BPN = 0.017x + 65.59	0.151
شیار طولی	BPN = 0.034x + 62.53	0.956

جدول ۱۴. درصد تغییرات میانگین عدد آونگی به‌ازای افزایش بزرگ‌ترین اندازه اسمی سنگدانه‌ها

NMSA(mm)	شیار عرضی	شیار مورب	شیار طولی
9/5	-	-	-
12/5	٪ ۲/۳	٪ -۰/۵	٪ ۰/۳
۱۹	٪ ۱/۱	٪ ۰/۶	٪ ۰/۳

مشاهده می‌شود که زوایای شیارها با مقاومت لغزندگی رابطه معناداری دارند. به این ترتیب که با تغییر زوایه شیارها از عرضی به مورب و سپس از مورب به طولی و در ادامه از عرضی به طولی، میانگین اعداد آونگی، به ترتیب به میزان ۱/۲ واحد (برابر با ۱/۷۵ درصد) و ۲/۸ واحد (برابر با ۴/۳ درصد) و ۴/۰ واحد (برابر با ۶/۰ درصد) کاهش می‌یابند. به عبارت دیگر با افزایش زوایه مابین راستای شیارها و امتداد حرکت بازوی آونگ، مقادیر BPN افزایش یافته‌اند. دلیل این مسئله، این است که در مورد شیارهای عرضی، کفشك لاستیکی پس از عبور از روی هر شیار، به لبه شیار بعدی برخورد می‌کند. برخورد با لبه شیار باعث از دست رفتن انرژی بیشتری نسبت به حالت شیار طولی می‌گردد، بنابراین، مقدار BPN بیشتری خوانده می‌شود.

#### ۴-۴- بررسی تأثیر زوایه شیار بر مقاومت لغزندگی

در این پژوهش، شیارها در سه راستای عرضی، مورب و طولی مورد آزمایش پاندول انگلیسی قرار گرفتند. جهت بررسی تأثیر زوایه شیارها بر مقاومت اصطکاکی سطح رویه، به ارزیابی رابطه بین مقادیر میانگین BPN (میانگین مقادیر BPN سه مخلوط مختلف در هر زوایه شیار) و زوایه شیارها پرداخته شد. به همین منظور طبق جدول ۱۵ داده‌های لازم میانگین‌گیری شده‌اند و رگرسیون خطی بین بافت ریز(BPN) و زوایه شیارها (x)، در رابطه ۲ نشان داده شده است.

$$BPN = -0.042x + 66.73, R^2 = 0.979 \quad (2)$$

صفر در نظر گرفت. مقادیر MTD موجود در جدول ۱۶ باید به منظور مقایسه تأثیر عواملی مانند فواصل و پهنای شiarها و NMSA بر عمق بافت درشت، طوری میانگین‌گیری شوند که بتوان مقادیر لازم برای محاسبه پارامترهای رگرسیونی را به دست آورد.

بنابراین، در جداول ۱۷ و ۱۸ میانگین MTD های مربوط به هر سه تیپ مخلوط، به ترتیب برای فواصل و پنهانهای مختلف شiarها آورده شده‌اند و برای محاسبه معادلات رگرسیون، از این مقادیر میانگین استفاده شده است.

## ۵- نتایج آزمایش پخش ماسه و تحلیل نتایج

به منظور بررسی تأثیر فواصل بین شiarها، پهنای شiarها و نوع دانه‌بندی سنگدانه‌ها بر عمق بافت درشت (MTD)، آزمایش پخش ماسه روی نمونه‌های ساخته شده صورت پذیرفت که نتایج حاصل از آن در جدول ۱۶ آورده شده است و در ادامه به تحلیل و تفسیر این نتایج پرداخته شده است. گفتنی است که انجام آزمایش پخش ماسه، روی نمونه‌های بتنی بدون بافت درشت (سطح صاف) به دلیل ناچیز بودن عمق بافت، محدود نمی‌باشد، بنابراین، می‌توان مقدار MTD مربوط به این نمونه‌ها را برابر با

جدول ۱۵. نحوه تغییرات بافت ریز و زوایای مختلف شiarها

	زاویه (درجه)	BPN	درصد
شiar عرضی	۰	۶۷	-
شiar مورب	۱۴	۶۵/۸۳	% -۱/۷
شiar طولی	۹۰	۶۳	% -۴/۳

جدول ۱۶. نتایج آزمایش پخش ماسه بر روی نمونه‌های بتنی

پهنای شiarها (میلی‌متر)	فواصل شiarها (میلی‌متر)	مقادیر عمق بافت درشت (میلی‌متر)		
		تیپ A	تیپ B	تیپ C
۲/۵	۱۳	۰/۸۶	۰/۹۳	۰/۸۲
	۱۹	۰/۸۰	۰/۹۷	۰/۷۶
	۲۵	۰/۴۷	۰/۵۱	۰/۵۹
	۳۲	۰/۴۵	۰/۴۹	۰/۴۷
۳/۲	۱۳	۱/۱۷	۱/۱۲	۰/۹۹
	۱۹	۰/۹۰	۰/۷۲	۰/۸۸
	۲۵	۰/۶۹	۰/۶۱	۰/۶۰
	۳۲	۰/۵۷	۰/۵۸	۰/۵۴
۳/۸	۱۳	۱/۲۶	۱/۴۰	۱/۲۳
	۱۹	۱/۰۸	۰/۹۶	۱/۰۳
	۲۵	۰/۷۱	۰/۸۳	۰/۸۰
	۳۲	۰/۶۳	۰/۶۴	۰/۷۰

جدول ۱۷. میانگین مقادیر MTD در فواصل مختلف شیار برای هر سه تیپ مخلوط

فواصل شیارها (میلی‌متر)	مقادیر MTD (میلی‌متر)		
	تیپ A	تیپ B	تیپ C
۱۳	۱/۰۹۷	۱/۱۵۰	۱/۰۱۳
۱۹	۰/۹۲۷	۰/۷۸۳	۰/۸۹۰
۲۵	۰/۶۲۳	۰/۶۵۰	۰/۶۶۳
۳۲	۰/۰۵۰	۰/۵۷۰	۰/۵۷۰
میانگین	۰/۷۹۹	۰/۷۸۸	۰/۷۸۴

جدول ۱۸. میانگین مقادیر MTD در پهنه‌های مختلف شیار برای هر سه تیپ مخلوط

پهنه‌ای شیارها (میلی‌متر)	مقادیر MTD (میلی‌متر)		
	تیپ A	تیپ B	تیپ C
۲/۵	۰/۶۴۵	۰/۶۵۰	۰/۶۶۰
۳/۲	۰/۸۳۲	۰/۷۵۷	۰/۷۵۲
۳/۸	۰/۹۲۰	۰/۹۵۷	۰/۹۴۰
میانگین	۰/۷۹۹	۰/۷۸۸	۰/۷۸۴

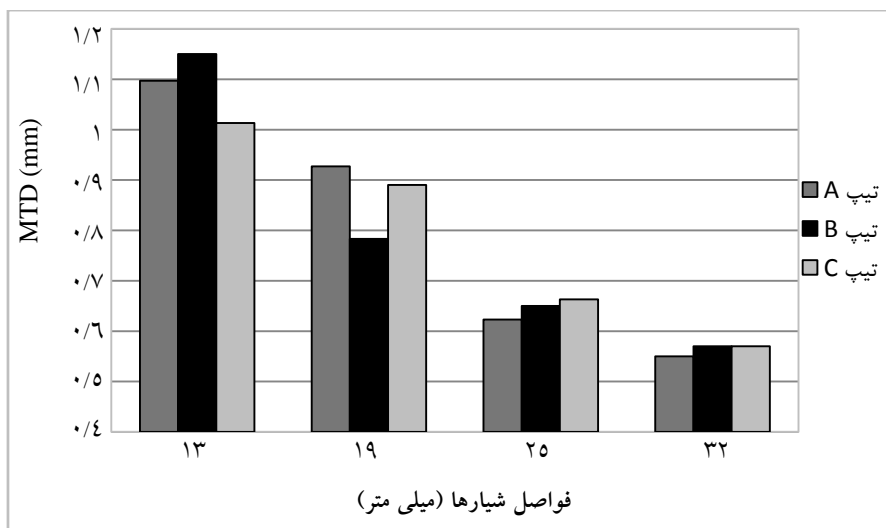
می‌باید، به عبارت دیگر با افزایش تعداد شیارهایی که توسط ماسه پر می‌شوند، عمق بافت درشت افزایش می‌باید. آشکار است که دلیل این امر، افزایش حجم ماسه مورده استفاده در سطح ثابت نمونه می‌باشد.

همچنین مطالعات میدانی، (Hall, Smith, and Littleton, 2009) نشان می‌دهند که با تغییر فاصله شیارها از ۱۳ تا ۳۲ میلی‌متر، میانگین عمق بافت درشت از ۱/۲۲۶ میلی‌متر تغییر می‌نماید. به طوری که با زیاد شدن فواصل بین شیارها در سه گام افزایشی یاد شده در بالا، میانگین عمق بافت درشت، به ترتیب به میزان ۰/۳۷۷، ۰/۳۳۷ و ۰/۲۲۶ درصد کاهش می‌باید. مشاهده می‌شود که نتایج به دست آمده از مطالعات میدانی، همانگی قابل توجهی با نتایج حاصل از آزمایشات مربوط به نمونه‌های ساخته شده در این تحقیق دارد.

#### ۵-۱- تأثیر فواصل شیارها بر عمق بافت درشت

جهت بررسی تأثیر فواصل شیارها بر عمق بافت درشت، رابطه بین مقادیر میانگین MTD (میانگین مقادیر MTD سه پهنه‌ای مختلف در هر فاصله)، که از جدول ۱۷ استخراج می‌گردد) و فواصل شیارها ارزیابی شد. نحوه تغییرات عمق بافت درشت و فواصل مختلف شیارها در شکل ۹ و روابط رگرسیون برای هر سه تیپ، در جدول ۱۹ نشان داده شده است.

مشاهده می‌شود که افزایش فواصل شیارها با عمق بافت درشت رابطه معکوس دارد. به این ترتیب که با افزایش فاصله شیارها از ۱۳ به ۱۹ میلی‌متر و سپس از ۱۹ به ۲۵ میلی‌متر و در ادامه از ۲۵ به ۳۲ میلی‌متر، میانگین عمق بافت درشت به ترتیب به میزان ۰/۲۲۰ میلی‌متر (برابر با ۲۰/۲ درصد) و ۰/۲۲۱ میلی‌متر (برابر با ۲۵/۵ درصد) و ۰/۰۸۲ میلی‌متر (برابر با ۱۲/۷ درصد) کاهش



شکل ۹. نحوه تغییرات عمق بافت درشت و فواصل مختلف شیارها برای هر سه تیپ مخلوط

جدول ۱۹. پارامترهای رگرسیونی رابطه بین فواصل شیارها (x) و MTD

تیپ مخلوط	معادله رگرسیون	R <sup>2</sup>
A	MTD = -0.030x + 1.479	0.940
B	MTD = -0.029x + 1.441	0.867
C	MTD = -0.024x + 1.330	0.966

درشت به ترتیب به میزان ۰/۱۲۹ میلی متر (برابر با ۱۹/۷ درصد) و ۰/۱۵۹ میلی متر (برابر با ۲۰/۳ درصد) افزایش می‌یابد. یعنی با افزایش پهنای شیارهایی که توسط ماسه پر می‌شوند، عمق بافت درشت افزایش می‌یابد.

(Hall, Smith, and Littleton, 2009) نشان می‌دهند که با تغییر پهنای شیارها از ۲/۵ تا ۳/۸ میلی متر، میانگین عمق بافت درشت از ۰/۶۵۶ تا ۰/۱۰۲۳ میلی متر تغییر می‌کند.

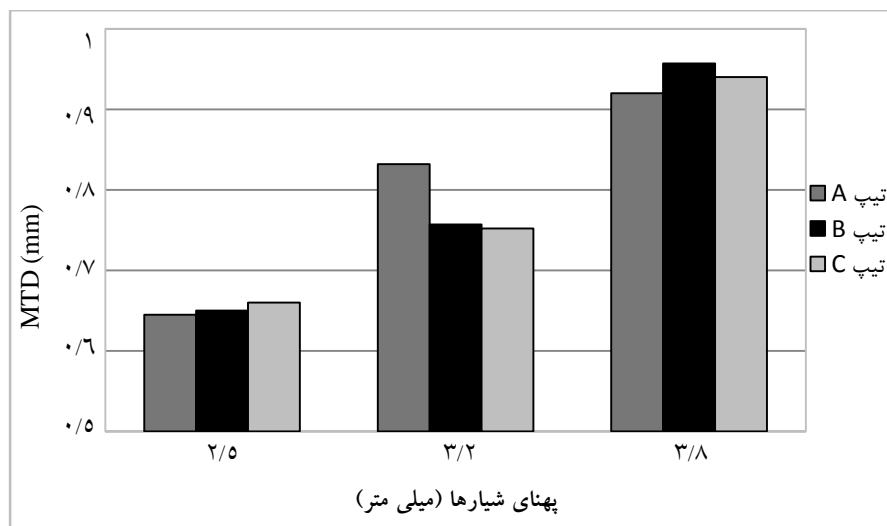
به این ترتیب که با زیاد شدن پهنای شیارها در دو گام افزایشی نام برده، میانگین عمق بافت درشت، به ترتیب به میزان ۲۲/۶ و ۱۷/۲ درصد افزایش می‌یابد. مشاهده می‌شود که نتایج به دست آمده از مطالعات میدانی، هماهنگی قابل ملاحظه‌ای با نتایج حاصل از آزمایشات مربوط به نمونه‌های ساخته شده در این پژوهش دارد.

## ۵-۲- تأثیر پهنای شیارها بر عمق بافت درشت

جهت بررسی تأثیر پهنای شیارها بر عمق بافت درشت، رابطه بین مقادیر میانگین MTD (میانگین مقادیر MTD چهار فاصله مختلف در هر پهنا، که از جدول ۱۸ استخراج می‌گردد) و پهنای شیارها مورد ارزیابی قرار گرفت. چگونگی تغییرات عمق بافت درشت و پهنای مختلف شیارها در شکل ۱۰ و نمودار رگرسیون سه تیپ نیز، در جدول ۲۰ آورده شده است.

همان‌طور که در جدول ۲۰ دیده می‌شود با توجه به ضرایب همبستگی به دست آمده، روابط خطی مربوط به پهنای شیارها و مقادیر MTD روند قابل قبولی داشته و مناسب می‌باشند. ضمناً مشاهده می‌شود که پهنای شیارها با عمق بافت درشت رابطه مستقیم دارد.

به این صورت که با افزایش پهنای این شیارها از ۲/۵ به ۳/۲ میلی متر و سپس از ۳/۲ به ۳/۸ میلی متر، میانگین عمق بافت



شکل ۱۰. نحوه تغییرات عمق بافت درشت و پهنهای مختلف شیارها برای هر سه تیپ مخلوط

جدول ۲۰. پارامترهای رگرسیونی رابطه بین پهنهای شیارها (x) و MTD

تیپ مخلوط	معادله رگرسیون	R <sup>2</sup>
A	MTD = ۰/۲۱۳ X + ۰/۱۲۴	۰/۹۷۳
B	MTD = ۰/۲۳۴ X + ۰/۰۴۶	۰/۹۵۳
C	MTD = ۰/۲۱۳ X + ۰/۰۱۹	۰/۹۴۴

عمق بافت سطحی ندارد. این امر به این دلیل است که با شیارزدن روی سطح بتن، بافت درشت نسبتاً عمیقی حادث می‌شود و در نتیجه اثرات ناچیز ناشی از تغییر اندازه سنگدانه‌ها بر MTD را محو می‌نماید. در واقع تغییر عمق بافت درشت ناشی از تغییر در دانه‌بندی، در مقایسه با عمق بافت ایجاد شده توسط شیارها به قدری اندک می‌باشد که قابل چشم پوشی نستند. همچنین مطالعات میدانی (Hall, Smith, and Littleton, 2009) نشان می‌دهند که با تغییر حداقل اندازه اسمی سنگدانه‌ها از ۹/۵ تا ۱۹ میلی‌متر، میانگین عمق بافت درشت از ۰/۸۳۷ تا ۰/۸۵۶ میلی‌متر تغییر می‌نماید. به این صورت که با زیاد شدن حداقل اندازه اسمی سنگدانه‌ها در دو گام افزایشی فوق الذکر، میانگین عمق بافت درشت، به ترتیب به میزان ۲/۳ و ۰/۹ - درصد تغییر می‌کند. ملاحظه می‌شود که نتایج به دست آمده از مطالعات میدانی، بیانگر رابطه یکنواختی در ارتباط با اثر NMSA بر عمق بافت درشت نمی‌باشد. اما می‌توان بر این امر صحه گذاشت که وابستگی قابل توجهی بین MTD و اندازه سنگدانه‌های مخلوط بتنی وجود ندارد.

### ۳-۵- تأثیر بزرگ‌ترین اندازه اسمی سنگدانه‌ها بر عمق بافت درشت

جهت بررسی تأثیر A نMSA و نوع دانه‌بندی بر عمق بافت درشت بتن شیاردار، به ارزیابی رابطه بین مقادیر میانگین کل MTD (میانگین کل مقادیر مربوط به هر تیپ مخلوط که در چهار فاصله و سه پهنهای مختلف به دست آمده و از ردیف آخر جداول ۱۷ و ۱۸ استخراج می‌گردد) و NMSA پرداخته شد. معادله رگرسیون بافت درشت (MTD) و حداقل اندازه اسمی سنگدانه (x) طبق رابطه ۳ به دست آمده است.

$$MTD=0.002x+0.769, R^2=0.997 \quad (3)$$

با افزایش حداقل اندازه اسمی سنگدانه‌ها از ۹/۵ به ۱۲/۵ میلی‌متر و سپس از ۱۲/۵ به ۱۹ میلی‌متر، میانگین عمق بافت درشت به ترتیب به میزان ۰/۰۰۴ میلی‌متر (برابر با ۰/۵ درصد) و ۰/۰۱۱ میلی‌متر (برابر با ۱/۴ درصد) افزایش می‌یابد. همان‌طور که مشاهده می‌شود، اگرچه MTD با بزرگ‌ترین اندازه اسمی سنگدانه‌ها رابطه مستقیم دارد و با درشت شدن دانه‌بندی مخلوط بتنی، مقادیر آن افزایش یافته‌اند، اما این رابطه اثر زیادی بر تغییر

## ۶- نتیجه‌گیری

- پس از آن از  $12/5$  میلی‌متر به  $19$  میلی‌متر، به ترتیب به اندازه  $7/1$  و  $4/4$  درصد به عدد آونگی افزوده شده است.
۵. مشاهده می‌شود که زوایای شیارها با مقاومت لغزنده‌گی رابطه معناداری دارند. به این ترتیب که با افزایش زاویه مابین راستای شیارها و امتداد حرکت بازوی آونگ، مقادیر BPN افزایش می‌یابند. در حقیقت بیشترین میزان اصطکاک زمانی حاصل خواهد شد که راستای شیارها بر امتداد حرکت جریان ترافیک عمود باشد.
۶. با مقایسه شدت اثر تغییر فواصل و پهنا و زاویه شیارها و اندازه سنگدانه‌ها بر عدد آونگی، باید گفت که تغییر در فواصل شیارها بیشترین اثر بر تغییر میزان اصطکاک را دارد و پس از آن تغییر در پهنهای شیارها و سپس تغییر زاویه شیار و سرانجام تغییر اندازه دانه‌های مخلوط بر مقاومت لغزنده‌گی مؤثر خواهد بود. با توجه به تأثیر ناچیز اندازه سنگدانه‌ها و نوع دانه‌بندی بر مقاومت اصطکاکی و با توجه به این‌که برای پژوهه‌های روسازی بتنی، مقاومت فشاری بتن از اهمیت فوق العاده‌ای برخوردار است، می‌توان نتیجه گرفت که استفاده از مخلوط بتنی تیپ دو و سه با توجه به استحکام بالاتر، گرینه‌های مناسبی می‌باشند.
۷. در ارتباط با تأثیر چهار عامل فاصله و پهنا و اندازه سنگدانه‌ها و زاویه شیارها بر عدد آونگی، باید خاطر نشان کرد که تغییرات خطی هیچ یک از این عوامل موجب تغییرات خطی عدد آونگی نخواهد شد. یعنی در صورتی که هر یک از این عوامل، در گام‌های ثابت و مشخصی افزایش یا کاهش یابند؛ عدد آونگی در گام‌های ثابت تغییر نخواهد کرد. بنابراین، لازم است تا با دقت نظر در امر بهینه‌یابی، بتوان بافت درشت سطح روسازی را به‌گونه‌ای طراحی کرد که الزامات مربوط به آلایندگی صوتی و کیفیت سواری خودروها نیز مد نظر قرار گیرد. به طور مثال اگر با افزایش پهنهای شیارها از  $2/5$  به  $3/2$  میلی‌متر، میزان اصطکاک افزایش قابل توجهی دارد، اما با افزایش پهنا از  $3/2$  به  $3/8$  میلی‌متر، این میزان چندان بیشتر نمی‌شود؛ می‌توان با استفاده از پهنهای  $3/2$  میلی‌متر، موجبات کاهش آنودگی صوتی را فراهم آورد.
۸. برای نمونه‌های شیاردار، روند تغییرات عمق بافت نسبت به فواصل شیارها، بیانگر رابطه معکوس بین این دو است. با

- با نگاه کلی به آنچه که در شرایط مفروض در این تحقیق مورد کنکاش قرار گرفت، می‌توان نتایج زیر را استنتاج نمود:
۱. با دقت در مقادیر عدد آونگی مربوط به نمونه‌های بتنی بدون بافت درشت و دارای سطح کاملاً صاف، مشاهده می‌شود که این مقادیر از حداقل مقادیر لازم ذکر شده توسط آیینه TRRL، کمتر بوده و به هیچ عنوان نمی‌توانند این‌میانی کافی مسیر را تأمین کنند. این مسئله، بیانگر این حقیقت است که در مورد روسازی‌های بتنی، حتماً باید از روش‌های مربوط به ایجاد بافت درشت استفاده کرد.
  ۲. با بررسی روند تغییر عدد آونگی نسبت به فواصل شیارها، این مطلب قابل برداشت است که فواصل شیارها با مقاومت لغزنده‌گی رابطه معکوس دارند. یعنی با افزایش فواصل، از مقدار عدد آونگی کاسته می‌شود. با میانگین‌گیری از درصد تغییرات، می‌توان گفت که با افزایش فواصل در مورد شیارهای عرضی و مورب و طولی به ترتیب، به میزان  $7/5$  و  $8/1$  و  $6/3$  درصد از عدد آونگی کم می‌شود.
  ۳. چگونگی تغییرات عدد آونگی نسبت به تغییرات پهنهای شیارها، مؤید این موضوع است که به‌طور کلی، مقاومت اصطکاکی و افزایش پهنهای شیارها، رابطه مستقیم با یکدیگر دارند و با افزایش پهنا، مقدار عدد آونگی بیشتر می‌گردد. با میانگین‌گیری از درصد تغییرات، مشاهده می‌شود که افزایش پهنهای شیارها موجب افزایش عدد آونگی به میزان  $5/9$  و  $5/3$  درصد، به ترتیب برای شیارهای عرضی و مورب و طولی خواهد شد.
  ۴. با دقت در روند تغییرات عدد آونگی نسبت به تغییرات حداقل اندازه اسمی سنگدانه‌ها در نمونه‌های شیاردار، می‌توان ادعا کرد که رابطه مستقیم بین این دو وجود دارد. محاسبه میانگین درصد تغییرات، نشانگر افزایش عدد آونگی به میزان  $1/7$  و  $0/05$  و  $0/3$  درصد، به ترتیب برای شیارهای عرضی و مورب و طولی می‌باشد. قابل ذکر است که برای نمونه‌های بدون بافت (سطح صاف)، اندازه سنگدانه‌ها، تنها عامل اثرگذار بر عدد آونگی می‌باشد که با افزایش حداقل اندازه اسمی سنگدانه‌ها از  $9/5$  میلی‌متر به  $12/5$  میلی‌متر و

13. Saturated Surface Dry Aggregate
14. British Pendulum Tester
15. Sand Patch Method
16. Microtexture
17. British Pendulum Number
18. Mean Texture Depth
19. Transport and Road Research Laboratory

## ۸- مراجع

- جان محمدی، الف. (۱۳۸۸) "بررسی تأثیر شیارهای با عمق متغیر بر مقاومت لغزشی سطح رویه"، پایاننامه کارشناسی ارشد، دانشکده مهندسی عمران و محیط زیست، دانشگاه تربیت مدرس، تهران، ایران.
  - حسنی، الف. (۱۳۸۴) "بررسی و مقایسه فنی و اقتصادی رویه‌های بتنی و آسفالتی"، معاونت آموزش، تحقیقات و فناوری، پژوهشکده حمل و نقل وزارت راه و شهرسازی، چاپ دوم، زمستان ۱۳۸۴.
  - سازمان راهداری و حمل و نقل جاده‌ای کشور (۱۳۸۸) "سالنامه آماری حمل و نقل جاده‌ای"، دفتر فناوری اطلاعات.
  - طاری بخش، م. (۱۳۹۰) "بررسی عوامل مؤثر بر مقاومت لغزندگی روسازی‌های بتنی راه"، پایاننامه کارشناسی ارشد، دانشکده مهندسی عمران، دانشگاه صنعتی خواجه نصیرالدین طوسی، تهران، ایران.
  - AASHTO: M80 (2003) "Standard specification for coarse aggregate for Portland cement concrete", American Association of State and Highway Transportation Officials, Washington, D.C., United States.
  - ACI: 211.1 (1997) "Standard practice for selecting proportions for normal heavyweight, and mass concrete", Reported by ACI Committee 211.
  - Ardani, A. (2006) "Implementation of proven PCCP practices in Colorado", Colorado Department of Transportation, Report No. CDOT-DTD-R-2006-9.
  - ASTM: C29 (2007) "Test method for bulk density (unit weight) and void in aggregate", Book of ASTM Standards, Vol. 04.02: Concrete and
- میانگین‌گیری از درصد تغییرات، باید گفت که با افزایش فواصل به میزان ۱۹/۵ درصد از عمق بافت کم می‌شود.
۹. چگونگی تغییرات عمق بافت درشت نسبت به تغییرات پهنهای شیارها، بیانگر رابطه مستقیم بین این دو است. با میانگین‌گیری از درصد تغییرات، مشاهده می‌شود که افزایش پهنهای شیارها موجب افزایش عمق بافت به میزان ۲۰/۰ درصد، خواهد شد.
۱۰. با دقت در روند تغییر عمق بافت درشت نسبت به تغییرات حداکثر اندازه اسمی سنگدانه‌ها در نمونه‌های بتنی شیاردار، باید گفت که رابطه مستقیم بین این دو وجود دارد. محاسبه میانگین درصد تغییرات، نشانگر افزایش عمق بافت درشت به میزان ۱/۰ درصد می‌باشد. در ضمن انجام آزمایش پخش ماسه، روی نمونه‌های بتنی بدون بافت درشت (سطح صاف) به دلیل ناچیز بودن عمق بافت، مقدور نیست، بنابراین، می‌توان مقدار MTD مربوط به این نمونه‌ها را برابر با صفر در نظر گرفت.
۱۱. با مقایسه شدت اثر تغییر فواصل و پهنهای شیارها و اندازه سنگدانه‌ها بر عمق بافت، باید گفت که تغییر در فواصل و پهنهای شیارها تأثیر یکسانی بر تغییر عمق بافت درشت دارد و تغییر اندازه دانه‌های مخلوط بر عمق بافت درشت اثر چندانی ندارد.
۱۲. با مقایسه میانگین مقادیر عدد آونگی مربوط به روش شیارزنی و حداقل مقادیر BPN ذکر شده توسط آیین‌نامه TRRL، باید ادعا کرد که استفاده از شیارها گزینه مناسبی برای تأمین اینمی مسیرهای بتنی می‌باشد.

## ۷- پی‌نوشت‌ها

1. Macrotexture
2. Tinning
3. Forming the Fresh Concrete
4. Retexturing
5. Surface Finishing Method
6. Surface Texturing Method
7. Hydroplaning
8. National Aeronautics and Space Administration
9. Friction Number
10. Maximum Sound Level
11. International Roughness Index
12. Nominal Maximum Size of Aggregate

- technique", Book of ASTM Standards, Vol. 04.03: Road and Paving Materials; Vehicle-Pavement Systems, ASTM International, West Conshohocken, United States.
- Chambers, J. R. (2003) "Concept to reality: Contributions of the NASA Langley research center to U.S. civil aircraft of the 1990s", NASA sp-2003-4529.
  - Fwa, T. F. and Ong, G. P. (2006) "Transverse pavement grooving against hydroplaning. II: Design", Journal of Transportation Engineering, Vol. 132, No. 6, pp. 449-457.
  - Hall, J. W., Smith, K. L. and Littleton, P. (2009) "Texturing of concrete pavements", NCHRP Project 10-67, Report 634.
  - Hosking, J. R. (1992) "Road aggregate and skidding", Transport Research Laboratory, Department of Transport, State-of-Art, Review 4, HMSO, London.
  - Lee, Y. P. K., Fwa, T. F. and Choo, Y. S. (2003) "Skid resistance evaluation of concrete pavement surfaces", Journal of the Eastern Asia Society for Transportation Studies, Vol. 5, pp. 972-984.
  - Ong, G. P. and Fwa, T. F. (2006) "Transverse pavement grooving against hydroplaning. I: Simulation model", Journal of Transportation Engineering, Vol. 132, No. 6, pp. 441-448.
  - Reiter, D., Bowlby, W. and Herman, L. (2004) "Traffic noise in Montana: Community awareness and recommendations for a rural state", Montana Department of Transportation, Report No. FHWA/MT-04-007/8172.
  - Robinson, R., Danielson, N. and Snaith, M. (1998) "Road maintenance management: Concepts and systems", First Published by Macmillan, U.K.
  - Shaffer, S. J., Christiaen, A. C. and Rogers, M. J. (2006) "Assessment of friction-based pavement methods and regulations", National Transportation Research Center, Heavy Vehicle Research Center, TASK2003E1.
  - TRRL (1969) "Instructions for using the portable skid resistance tester", Road Note 27, Transport and Road Research Laboratory HMSO.
  - Aggregates, ASTM International, West Conshohocken, United States.
  - ASTM: C33 (2007) "Specification for concrete aggregates", Book of ASTM Standards, Vol. 04.02: Concrete and Aggregates, ASTM International, West Conshohocken, United States.
  - ASTM: C39 (2007) "Test method for compressive strength of cylindrical concrete specimens", Book of ASTM Standards, Vol. 04.02: Concrete and Aggregates, ASTM International, West Conshohocken, United States.
  - ASTM: C127 (2007) "Test method for density, relative density (specific gravity) and absorption of coarse aggregate", Book of ASTM Standards, Vol. 04.02: Concrete and Aggregates, ASTM International, West Conshohocken, United States.
  - ASTM: C128 (2007) "Test method for density, relative density (specific gravity) and absorption of fine aggregate", Book of ASTM Standards, Vol. 04.02: Concrete and Aggregates, ASTM International, West Conshohocken, United States.
  - ASTM: C131 (2007) "Test method for resistance to degradation of small-size coarse aggregate by abrasion and impact in the Los Angeles machine", Book of ASTM Standards, Vol. 04.02: Concrete and Aggregates, ASTM International, West Conshohocken, United States.
  - ASTM: C188 (2007) "Test method for density of hydraulic cement", Book of ASTM Standards, Vol. 04.01: Cement; Lime; Gypsum, ASTM International, West Conshohocken, United States.
  - ASTM: D5821 (2007) "Test method for determining the percentage of fractured particles in coarse aggregate", Book of ASTM Standards, Vol. 04.03: Road and Paving Materials; Vehicle-Pavement Systems, ASTM International, West Conshohocken, United States.
  - ASTM: E303 (2007) "Test method for measuring surface frictional properties using the British Pendulum Tester", Book of ASTM Standards, Vol. 04.03: Road and Paving Materials; Vehicle-Pavement Systems, ASTM International, West Conshohocken, United States.
  - ASTM: E965 (2007) "Test method for measuring pavement macrotexture depth using a volumetric